

**UNIVERSITATEA DIN BUCUREŞTI**  
**FACULTATEA DE FIZICA**

**TIBERIU TUDOR**

**COERENȚA CÎMPURILOR OPTICE MULTIFRECVENTĂ**

**— Rezumatul tezei de doctorat —**

**Conducător științific,  
Prof. Dr. Doc. G. G. BRĂTESCU**

**BUCUREŞTI, 1981**

UNIVERSITATEA DIN BUCURESTI  
Secretariat

Nr. 7996 din 19 I 1981

C A T R E, *Dr. Valentin I. Vlad*

Vă facem cunoscut că în ziua de 3 iunie 1981  
orele 14<sup>30</sup> în amfiteatrul 2  
Facultății de fizică din București, va  
avea loc susținerea tezei de doctorat a Tov. TUDOR SPIRU TIBERIU  
cu tema:

**COERENTA CIMPURILOR OPTICE MULTIFRECVENTA**

în vederea obținerii titlului de doctor în fizică.

În conformitate cu Instrucțiunile privind conferirea titlurilor științifice în Republica Socialistă România, aprobate prin Ordinul Ministerului Educației și Invățământului nr.18 din 19 ianuarie 1968, vă trimitem rezumatul tezei de doctorat cu rugămintea de a comunica în scris observațiile Dv. pe adresa: Universitatea din București - DOCTORAT - B-dul Gheorghe Gheorghiu-Dej nr.64 și a participa la susținerea tezei.

R E C T O R,

*George Ciucu*  
Prof.dr. George Ciucu

SECRETARUL SEP. AJ. UNIVERSITATII,

*Elena Ivan*

UNIVERSITATEA DIN BUCURESTI  
FACULTATEA DE FIZICA

TIBERIU TUDOR

COERENTA CIMPURILOR OPTICE MULTIFRECVENTA

CONDUCATOR STIINTIFIC

Prof. Dr. Doc. G.G. BRATESCU

BUCURESTI

- 1981 -

Cu deosebita consideratie, multumesc conducatorului meu stiintific, Prof.Dr.Doc. G.G.Bratescu, pentru indrumarea permanenta, discutiile fructuoase asupra cercetarilor efectuate si sprijinul generos pe care mi l-a acordat in intreaga activitate de cercetare stiintifica si in mod special in realizarea acestei lucrari.

De asemenea, profesorilor si colegilor mei din catedra de Optica-Spectroscopie-Plasma, unde mi-am desfasurat activitatea de cercetare stiintifica, le multumesc pentru conditiile de lucru create, atmosfera colegiala si climatul stiintific favorabil acestei activitati.

Exprim multumirile mele conducerii sectiei Laseri IFTAR si sefului grupului de laseri He-Ne, Dr. V. Vasiliu, pentru posibilitatea pe care mi-a oferit-o de a efectua unele determinari experimentale in cadrul laboratorului de laseri He-Ne, beneficiind astfel de baza materiala a sectiei.

Imi este de asemenea deosebit de placut sa aduc multumirile mele cerc.fiz. H. Ristic si Dr.ing. A.I. Ciura, pentru colaborarea in problemele de cuplare a modurilor in laseri, cerc.ing. A. Dumitrica, pentru colaborarea in domeniul realizarii unor translateuri de frecventa optica si cerc.ing. G. Nemes pentru discutiile purtate pe marginea acestei lucrari in diverse stadii ale redactarii ei.

## INTRODUCERE

Termenul "multifrecvență" a fost adoptat relativ recent în optica, în legătură cu desemnarea structurii spectrale a luminii modulate [1] și a emisiei laserilor multimodali [2]. Introducerea acestui termen răspunde necesității de a denumi generic un ansamblu de cimpuri care au apărut în câteva domenii de lucru importante ale opticii moderne, cimpuri care au în comun faptul că sunt formate dintr-o serie de componente spectrale apropiate și - cel puțin pentru situațiile în care termenul a fost utilizat pînă în prezent - echidistante.

Există la ora actuală multe modalități de producere a unor asemenea cimpuri: Prin modulare lumina se descompune spectral, distribuția amplitudinilor și fazelor benzilor laterale de modulatie depinzînd de tipul și de gradul de modulare [1], [3], [4]. Spectrele de modulatie cele mai uzuale, de pildă cele produse de un modulator unicellular de fază sau de amplitudine, sunt spectre cu un grad mare de simetrie. Utilizarea, însă, a unei serii de celule modulatoare, permite sintetizarea unor structuri spectrale multifrecvență mai puțin obisnuite: s-au obținut astfel - pe linia căutării unor translatoare de frecvență optică - modulatoare [5], [6] care produc cimpuri optice multifrecvență spectral asimetrice și, în particular, modulatoarele de bandă laterală unică cu suprimarea purtătoarei, pentru care cimpul emergent se reduce la un cimp monofrecvență, cu frecvență diferită de a luminii incidente. O altă categorie de cimpuri multifrecvență e constituie cimpurile emise, în mod uzual, de laseri [9]: un laser emite, în general, pe un întreg grup de frecvențe - frecvențele proprii ale cavității sale rezonante aflate sub curba de cîstig, și numai în situații cu totul particulare și cu precauții speciale, cimpul optic al emisiei laser se poate reduce la un cimp monofrecvență. Un cimp optic multifrecvență înrudit cu al laserilor, este cel al "liniilor artificiale" obținute de către P. Connes [10] la trecerea luminii printr-o cavitate rezonantă pasivă.

Deseori, în procesul de generare a cimpurilor multifrecvență, are loc o cuplare a componentelor lor spectrale, astfel încît între aceste componente se stabilește o relație de fază determinată (nealeatoare). Este, de pildă, cazul cimpurilor de modulatie [3] sau al celor emise de laser; în regim de cuplare a modurilor [12]. Cimpurile multifrecvență sunt, în acest caz, coerente în sens generalizat [13].

Cu toată răspîndirea pe care o au în prezent aceste cimpuri, nu s-a elaborat încă o analiză unitară a proprietăților lor specifice de coherentă. De altfel, teoria coerentei generalizate, care constituie ca-

druj natural de investigare a acestor proprietăți este, ea însăși, în curs de elaborare.

\* \* \*

Lucrarea de față constituie o contribuție la dezvoltarea teoriei coerentei generalizate și la aplicarea acestei teorii, paralel cu extinderea metodei interferometrice, în analiza coerentei cimpurilor optice multifrecvență.

In prima parte a lucrării facem o prezentare sistematică a diverselor modalități de obținere a cimpurilor multifrecvență coerente - modularea luminii, deplasarea frecvenței optice și cuplarea modurilor în laseri - utilizând în principal rezultatele noastre în acest domeniu - [15]+[17], [35], [80].

În partea a doua a lucrării, după revederea unor dintre noțiunile de bază ale teoriei coerentei cimpurilor stationare, expunem contribuțiile noastre în problemele coerentei generalizate și analizei proprietăților specifice de coerență ale cimpurilor multifrecvență - [15], [18]+[20], [210]+[212].

## I OBTINEREA CIMPURILOR OPTICE MULTIFRECVENTA COERENTE

In această parte a lucrării facem o prezentare unitară a procedeelor prin care pot fi obținute cimpurile optice multifrecvență coerente și analizăm, teoretic și experimental, structurile multifrecvență produse de o serie de dispozitive optice.

### I. MODIFICAREA STRUCTURII SPECTRALE A LUMINII PRIN MODULARE

Primele cercetări experimentale în domeniul modificării structurii spectrale a luminii prin modulare au fost efectuate în anii '30, însă abia după 1960 problema a putut fi abordată în cadrul unor tehnici experimentale care să permită punerea în evidență fără echivoc a despicării liniei spectrale prin modulare - [10], [23]. Dacă investigațiile experimentale în acest domeniu au fost unele de cercetare fundamentală, teoria modificării structurii spectrale a luminii prin modulare s-a dezvoltat într-un cadru de cercetare aplicativă, anume în contextul problemelor transmiterii optice a informației, și rezultatele teoretice obținut pînă în prezent - [1], [3], [4] - sunt limitate la unele condiții particulare de funcționare a modulatoarelor, care prezintă interes în aceste probleme. În cercetările noastre am analizat structurile multifrecvență pe care le produc cîteva tipuri de modulatoare electrooptice, în cele mai variate condiții de funcționare. Calculele sunt efectuate în formalismul matricilor Jones [40], iar verificările experimentale sunt efectuate la nivelul spectrului intensității luminii modulate.

In cazul unui *modulator de intensitate cu efect Pockels longitudinal* într-un cristal de tip K.D.P., pentru o tensiune  $U = U_0 + U_m \sin \omega t$  aplicată cristalului și pentru lumină incidentă polarizată liniar la  $45^\circ$  față de axele principale induse, am obținut următoarea dezvoltare spectrală a vectorului Jones al luminii emergente din cristal [15]:

$$\begin{bmatrix} E_{||} \\ E_\perp \end{bmatrix} = \begin{bmatrix} \cos \phi_0 \sum_{k=0}^{\infty} J_{2k}(r) e^{i[\omega_0 + 2kr]t} + i \sin \phi_0 \sum_{k=0}^{\infty} J_{2k-1}(r) e^{i[\omega_0 + (2k-1)r]t} \\ i \sin \phi_0 \sum_{k=0}^{\infty} J_{2k}(r) e^{i[\omega_0 + 2kr]t} + \cos \phi_0 \sum_{k=0}^{\infty} J_{2k-1}(r) e^{i[\omega_0 + (2k-1)r]t} \end{bmatrix} \quad (1)$$

(cu  $\omega_0/2\pi$  - frecvența luminii incidente;  $\phi_0 = \frac{1}{\lambda_0} n_0^2 r_6; U_0$ ;  $r = \frac{\pi}{\lambda_0} n_0^3 r_6; U_m$ ;  $n_0$  - indicele de refracție ordinar al cristalului;  $r_6$  - coeficientul electrooptic care intervine în efectul longitudinal).  $E_{||}$  și  $E_\perp$  sunt componentele cimpului electric al undei emergente, polarizate paralel, respectiv perpendicular față de direcția de polarizare.

ă luminii incidente la modulator. Folosind reprezentarea fazorială tri-dimensională a semnalelor multifrecvență, [1], putem prezenta întreg conținutul dezvoltării (1) într-o formă sintetică intuitivă (fig. 1 a). Ambreiaj compoñente liniar polarizate,  $E_{\parallel}$ ,  $E_{\perp}$  ale luminii emergente din cristal contin, în general, purtătoarea și benzile laterale, atât de ordin par, cât și de ordin impar. Amplitudinile diverselor compoñente spectrale de modulație depind de punctul de funcționare al modulatorului (prin  $\phi_0$ ) și de gradul de modulație  $\Gamma$ . Componentele spectrale de modulație sunt coerente în sens generalizat: coerenta a două astfel de compoñente ( $k, l$ ) constă în variația liniară în timp,  $(k-l)\Omega t$ , a diferenței lor de fază.

Pentru dezvoltarea spectrală a intensității luminii modulate, obținem:

$$I_{\parallel, \perp} = \frac{1}{4} \left[ 1 + \cos 2\phi_0 \left[ J_0(2\Gamma) + 2 \sum_{l=1}^{\infty} J_{2l}(2\Gamma) \cos 2l\Omega t \right] + \right. \\ \left. + \sin 2\phi_0 \left[ 2 \sum_{l=1}^{\infty} J_{2l-1}(2\Gamma) \sin (2l-1)\Omega t \right] \right] \quad (2)$$

Spectrul intensității conține, în general, atât multiplii pari, cât și multiplii impari ai frecvenței de modulație (fig. 1 b). El depinde de valoarea lui  $\phi_0$  într-o manieră care permite ca, prin alegerea convenabilă a punctului de funcționare a modulatorului, tot grupul armonicelor impare (pentru  $\phi_0 = 0 - U_0 = 0$ ) sau tot grupul armonicelor pare (pentru  $\phi_0 = \pi/4 - U_0 = U_{\lambda/4}$ ) să fie suprimat - fig. 2. Cresterea indicelui de modulație  $\Gamma$  duce la apariția componentelor de ordin din ce în ce mai ridicat, atât în spectrul cimpului electric al undei luminoase (1), cât și în cel al intensității ei (2). În fig. 3 prezentăm această modificare a structurii spectrale a intensității luminii modulate, pentru o variație a tensiunii de modulație între 2 și 10 kV, în trepte de 2 kV; compoñenta analizată este  $I_{\perp}$ . Am ales valoarea tensiunii continue aplicata cristalului ( $U_0 = 1,7$  kV), astfel încât spectrul intensității să conțină atât armonicile impare cât și armonicile pare ale frecvenței de modulație (1,45 kHz). Fascicolul laser modulat a fost detectat direct, cu o fotocelulă ROL 11, iar analiza structurii armonice de modulație a fost făcută cu un analizor de spectru Tektronix 7L5 cu vizualizare pe osciloscop.

În cazul unui modulator de intensitate unicelular cu efect Kerr, pentru un cimp electric la celulă  $E = E_0 + E_m \sin \Omega t$  și lumină incidentă polarizată liniar la  $45^\circ$  față de axele principale induse, am obținut pentru vectorul Jones al luminii emergente din celulă, expresia:

$$\begin{bmatrix} E_{\parallel} \\ E_{\perp} \end{bmatrix} = e^{-i\frac{1}{3}(\phi_0 + \Gamma_1 \sin \Omega t - \Gamma_2 \cos 2\Omega t)} \begin{bmatrix} \cos(\phi_0 + \Gamma_1 \sin \Omega t - \Gamma_2 \cos 2\Omega t) \\ i \sin(\phi_0 + \Gamma_1 \sin \Omega t - \Gamma_2 \cos 2\Omega t) \end{bmatrix} e^{i\omega_0 t} \quad (3)$$

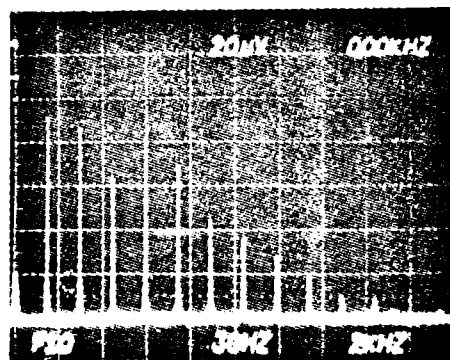
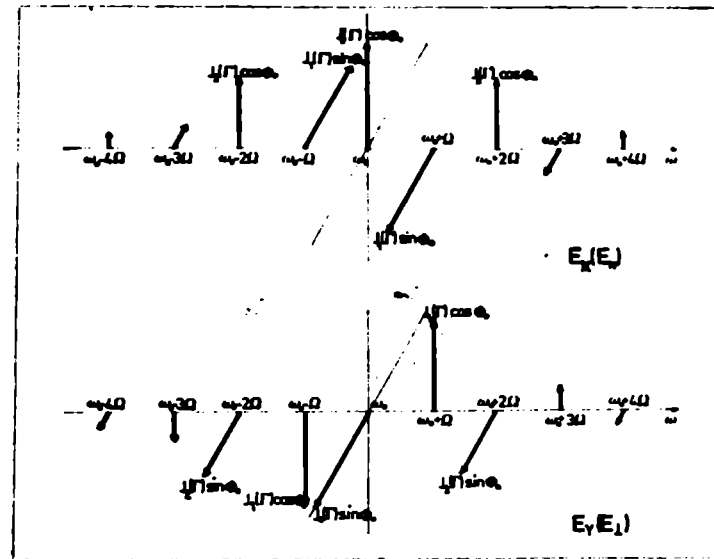


Fig.1 (a) Spectrul cîmpului electric al undei luminoase la ieșirea din cristalul modulator (b) Spectru tipic al intensității luminii modulate.

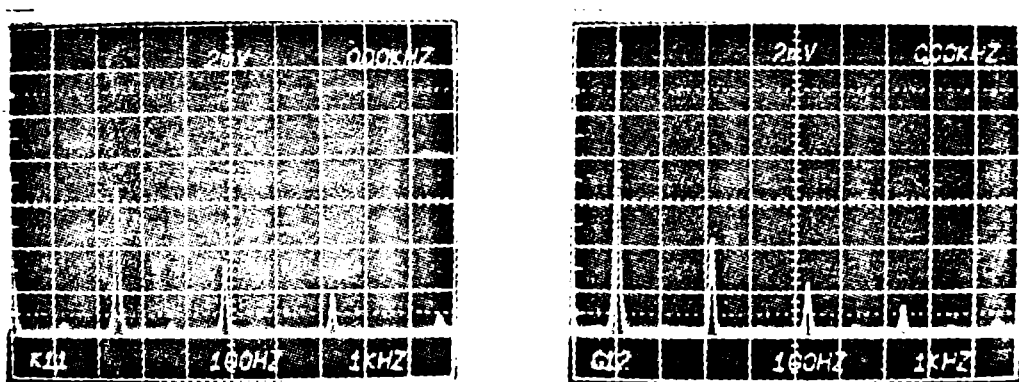


Fig. 2 Suprimarea armonicilor de ordin impar, respectiv de ordin par, din spectrul intensității luminii modulate, pentru (a) $U_0=0$ ; (b) $U_0=U_{\lambda/4}$

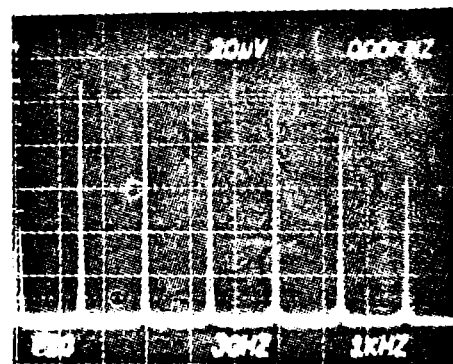
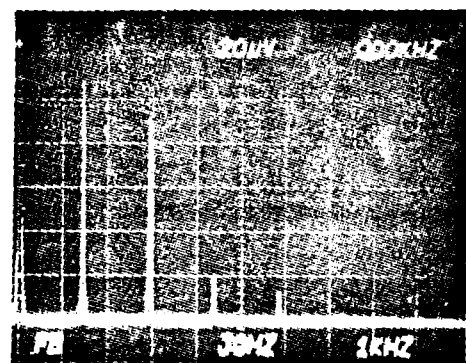
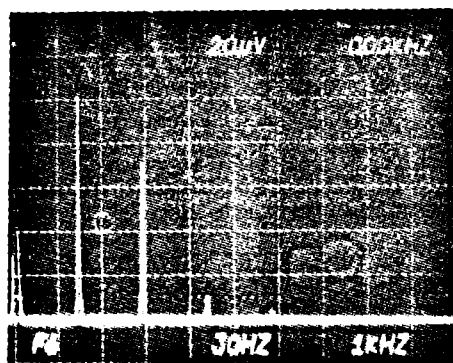
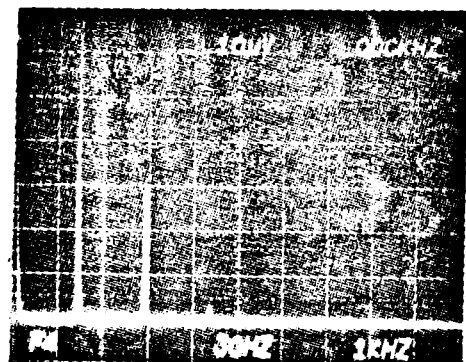
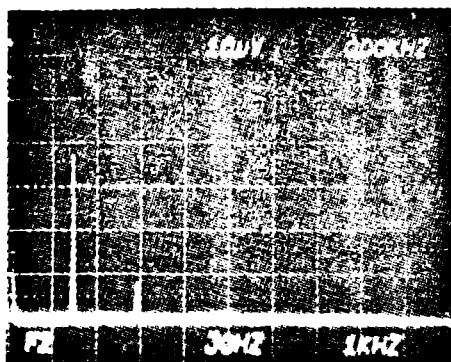


Fig. 3 Modificarea spectrului intensității luminii modulate la variația tensiunii de modulație, pentru o tensiune continuă aplicată cristalului-constantă. Frecvența de modulație: 145 kHz. Tensiunea de modulație: 2, 4, 6, 8, 10 kV.

(cu:  $\phi_0 = \pi BL(E_0^2 + \frac{1}{2}E_m^2)$ ;  $r_1 = 2\pi B L E_0 E_m$ ;  $r_2 = \frac{1}{2} \pi B L E_m^2$ ;  $L$  - lungimea celulei;  $B$  - constanta Kerr).

In lipsa unei tensiuni continue aplicate celulei ( $U_0 = 0$ ), atit spectrul cimpului electric al undei modulate, cat si spectrul intensitatii acestei unde contin numai componente de ordin par:

$$E_{H,1} = \frac{1}{2} e^{-i \frac{\phi_0}{3}} \left\{ J_k\left(\frac{2r_2}{3}\right) e^{i(\phi_0 - k\frac{\pi}{2})} \pm J_k\left(\frac{4r_2}{3}\right) e^{-i(\phi_0 - k\frac{\pi}{2})} \right\} e^{i(\omega_0 + 2kn)t} \quad (4a)$$

$$I_{H,1} = \frac{1}{4} \left\{ 1 \mp \cos 2\phi_0 \left[ J_0(2r_2) + 2 \sum_{l=1}^{\infty} J_{2l}(2r_2) \cos 4l\pi t \right] \mp \sin 2\phi_0 \left[ 2 \sum_{l=1}^{\infty} J_{2l-1}(2r_2) \sin(2l-1)\pi t \right] \right\} \quad (5a)$$

Intr-un alt caz particular important, anume pentru punctul de functionare al modulatorului la mijlocul portiunii liniare a curbei de transmisie ( $U_0 = U_\lambda/4$ ) si cu amplitudinea tensiunii de modulatie mica ( $U_m \ll U_0$ ), se obtine:

$$E_{H,1} \approx \frac{1}{2} e^{-i \frac{\pi}{12}} \left\{ J_k\left(\frac{2r_1}{3}\right) e^{i\frac{\pi}{4}} \pm J_k\left(\frac{4r_1}{3}\right) e^{-i(\frac{\pi}{4} + kn)} \right\} e^{i(\omega_0 + kn)t} \quad (4b)$$

$$I_{H,1} \approx \frac{1}{4} \left\{ 1 \mp 2 \sum_{l=1}^{\infty} J_{2l-1}(2r_1) \sin(2l-1)\pi t \right\} \quad (5b)$$

Pentru situatiile particulare mentionate mai sus,  $U_0 = 0$  si  $U_0 = U_\lambda/4$  am facut o analiza comparativa detaliata a structurilor spectrale ale cimpurilor multifrecventa care apar in modularile de intensitate prin efect Kerr si prin efect Pockels. Am aratat ca la originea diferenelor acestor structuri se afla, pe langa diferenta dintre dependenta birefringentei induse de tensiunea aplicata, faptul ca, in timp ce in cazul Pockels modulararea este in substrat una pur de amplitudine, in cazul Kerr ea este una mixta, de amplitudine si fază.

Analize similare am prezentat pentru modulatorul bicelular cu efect Kerr si modulatoarele de faza cu efect Kerr si cu efect Pockels.

## 2. DEPLASAREA FRECVENTEI OPTICE

O alta modalitate de obtinere a unor cimpuri optice de frecvente diferite coerente o constituie deplasarea frecventei [3]+[6], [16], [80]. Un translator de frecventa ideal furnizeaza, pentru o unda monofrecventa incidenta, o unda de frecventa diferita, coerenta cu prima. Majoritatea translatoarelor de frecventa reale sunt, insa, dispozitive care furnizeaza, in general, pentru cimpuri incidente monofrecventa, cimpuri emergerente multifrecventa si numai cu precautii speciale, sau in conditii speciale, cimpuri monofrecventa. Perspectiva din care le-am abordat aici:

este cea a analizei spectrale a cimpurilor pe care le produc în general și a condițiilor în care acestea se reduc la cimpuri monofrecvență.

Am elaborat o tratare matricială generală a modulatoarelor de tip lama birefringenta rotitoare, cu aplicatie la lama semiundă rotitoare și translatoarele de frecvență cu cimp electric rotitor. Pentru matricea unei astfel de lame am obținut următoarea dezvoltare spectrală:

$$M = \cos\phi \begin{bmatrix} 1 & 0 \\ 0 & 1 \end{bmatrix} + \frac{1}{2} \sin\phi \begin{bmatrix} i & 1 \\ 1 & -i \end{bmatrix} e^{i2\Omega t} + \frac{1}{2} \sin\phi \begin{bmatrix} i & -1 \\ -1 & -i \end{bmatrix} e^{-i2\Omega t} \quad (6)$$

unde  $\Omega$  este viteza unghiulară de rotație a lamei, iar  $2\phi$  diferența de fază introdusă între componentele ordinată și extraordinată ale luminii care traversează. În cazul luminii incidente circular polarizate drept, vectorul Jones al luminii emergente este:

$$E = \cos\phi \begin{bmatrix} i \\ 1 \end{bmatrix} e^{i\omega_0 t} - i \sin\phi \begin{bmatrix} -i \\ 1 \end{bmatrix} e^{i(\omega_0 - 2\Omega) t} \quad (7)$$

În particular, obținem în cadrul analizei noastre matriciale, rezultatul binecunoscut că o lama semiundă rotitoare deplasează frecvența luminii circular polarizate incidente cu dublul frecvenței de rotație a lamei; într-adevăr, pentru  $2\phi = \pi$ , (7) devine:

$$E = a \begin{bmatrix} -i \\ 1 \end{bmatrix} e^{-i(\omega_0 - 2\Omega) t} \quad (8)$$

Acest efect poate fi obținut și cu ajutorul translatoarelor de frecvență cu cimp electric rotitor [10] sau, în primă aproximație, cu ajutorul celor de tip tandem [5], [6].

Am construit, [80], un translator de frecvență de tip tandem cu cristale de K.D.P. În fig. 4 prezentăm schema lui de principiu:  $M_1$  și  $M_2$  sunt cele două cristale, funcționând în efect longitudinal, rotite la  $45^\circ$  unul față de celălalt și alimentate cu tensiuni sinusoidale, în quadratură;  $Q_1$ ,  $Q_2$  sunt lame sfert de undă, iar  $P_1$ ,  $P_2$  - polarizori încrucisati. Pentru un astfel de modulator, cimpul electric al undei emergente,

$$E_Y = \sum_{k=1}^{\infty} J_{2k-1}(\sqrt{2} \Gamma) \sin\left[(2k-1)\frac{\pi}{4}\right] e^{i[\omega_0 + (-1)^{k-1}(2k-1)\Omega]t} \quad (9)$$

contine numai benzi laterale de ordin impar: imparele superioare sunt numai cele de ordin  $4n-3$ , inferioarele sunt numai cele de ordin  $-(4n-1)$ ; distanța între două benzi adiacente este  $4\Omega$ , spectrul este foarte rarefiat. Energia luminii incidente este convertită în mare măsură în banda laterală superioară de modulație  $+1$ .

Verificarea funcționării modulatorului în regim B.L.U. am făcut-o,

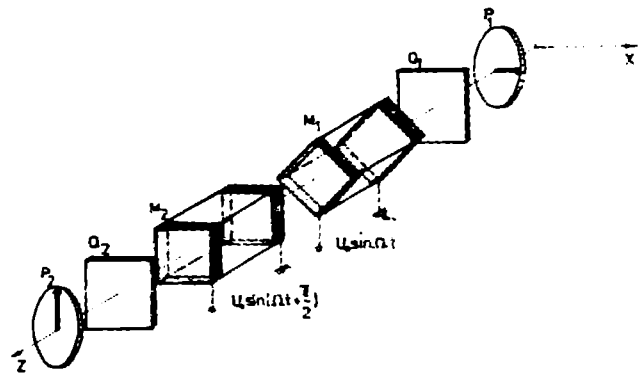


Fig.4 Translator de frecvență electrooptic de tip tandem cu cristale de K.D.P. Schita montajului.

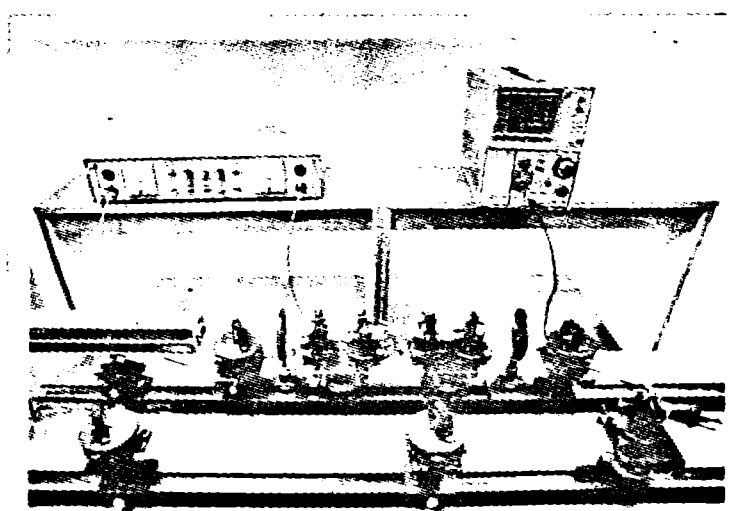
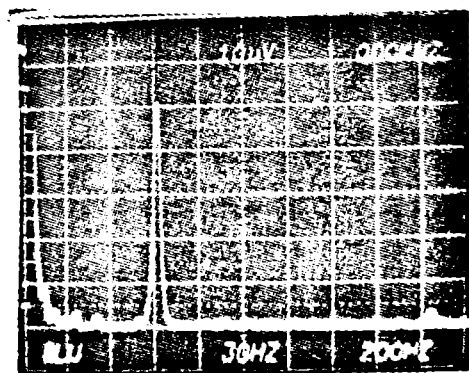


Fig.5 Verificarea prin homodinare optică a funcționării tandemului în regim S.L.U. Montajul experimental.

Fig.6 Spectru al semnalului de homodinare.



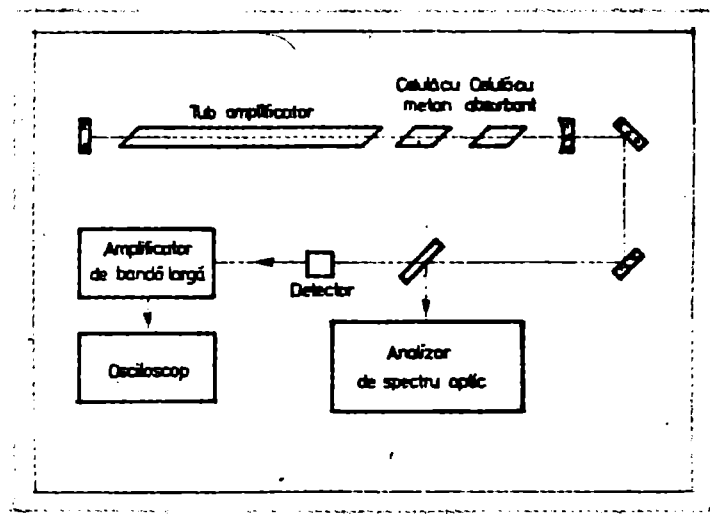


Fig. 7 Cuplarea modurilor unui laser He-Ne în regim I.U.L., folosind neonul ca absorbant saturabil. Schema montajului experimental.

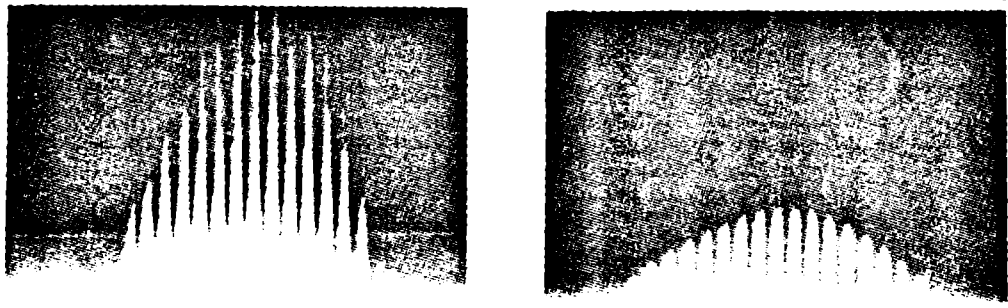


Fig. 8 Modificarea spectrului laserului la trecerea din (a) regim relaxat în (b) regim de cuplare a modurilor. Scala orizontală 250 MHz/div.

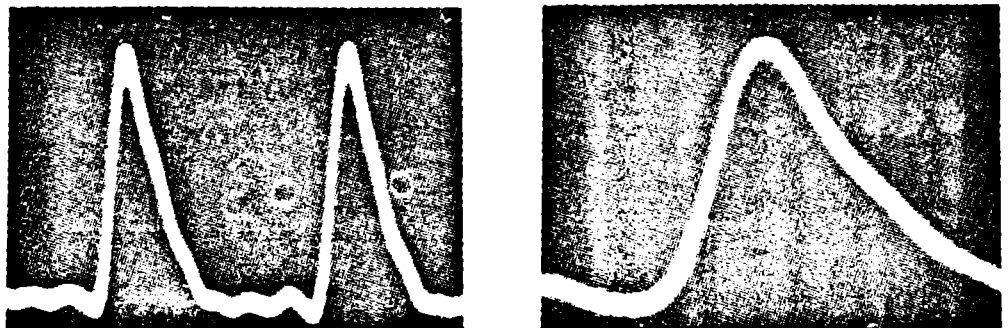


Fig. 9 Emisia I.U.L. a laserului (a) Scala orizontală: 5 ns/div. (b) Scala orizontală 1,25 ns/div.

[16], prin mixarea pe suprafața unei fotocelule a fascicolului modulat, cu un fascicol de referință obținut prin divizare de la același laser (fig. 5). Currentul de homodinare a fost analizat cu un analizor de spectru Tektronix 7L5, cu vizualizare pe ecranul unui osciloscop. Frecvența tensiunilor de alimentare a cristalelor a fost de ~ 600 Hz. Semnalul de homodinare (fig. 6) conține în principal bătaia, pe această frecvență, dintre componente laterală dorită,  $k = 1$ , a luminii modulate și frecvența oscilatorului local. Se observă, de asemenea, la triplul frecvenței de modulație, picul corespunzător bătăii dintre componente laterală reziduală  $k = -3$  și frecvența oscilatorului local.

Modulatoarele cu mai multe celule, de pildă cele de tip tandem, arată posibilitatea de a interveni foarte nuanțat, prin intermediul retelelor electrooptice, pentru sintetizarea spectrului de modulație dorit. Apariția acestor modulatoare complexe a dus la o largă diversificare a cîmpurilor multifrecvență de modulație.

### 3. CUPLAREA MODURILOR IN LASERI

Un alt procedeu de obținere a cîmpurilor optice multifrecvență coerente îl constituie cuplarea modurilor în laseri. Vom ilustra acest procedeu prin rezultatele obținute de către noi în *cuplarea modurilor longitudinale ale unui laser cu He-Ne, folosind neonul ca absorbant saturabil* [17].

Schita montajului experimental este prezentată în fig. 7: cavitatea rezonantă, cu lungimea de 240 cm, este formată de o oglindă concavă cu raza de 250 cm și o oglindă plană. Tubul amplificator, cu diametrul de 4 mm și o lungime activă de 160 cm, umplut cu un amestec 10:1 de He : Ne, la o presiune totală de 1,5 torr, este excitat în curent continuu. Celula cu absorbant, lungă de 22 cm, cu diametrul de 2 mm, umplută cu Ne natural, la presiunea de 3 torr, este plasată în cavitate în vecinătatea oglinzii plane. Pentru a preveni oscilația liniei 3,39 μm, s-a introdus în cavitate o celulă cu metan la presiune atmosferică. Emisia laserului a fost investigată în domeniul timp și în domeniul frecvență. Analiza spectrală a luminii emise a fost făcută cu un analizor de spectru optic Spectra Physics 420. Aspectul temporal al emisiiei a fost vizualizat pe un osciloscop S7-10A, alimentat printr-un amplificator de bandă largă PRD 7835 Harris de la o fotodiode PIN Monsanto D, asupra căreia cade fascicolul laser. Frontul anterior al fotodiodei este de ~ 0,5 ns, la o sarcină de 50 a. Lărgimile de bandă ale osciloscopului și amplificatorului sunt de 1,5 GHz, respectiv 550 MHz.

Cît timp celula cu absorbant nu este alimentată, amplitudinile și fazele modurilor variază aleator în timp (fig. 8 a). La alimentarea celulei de

absorbție, spectrul laserului devine stabil (fig. 8 b), banda de oscilație se largeste și se evidențiază binecunoscuta tendință de egalizare a amplitudinilor modurilor manifestată la cuplarea lor în regim I.U.L. [12]. În domeniul timp, emisia laserului are forma unei succesiuni periodice de impulsuri identice cu perioada de repetitie  $T \approx 16$  ns (fig. 9 a), ceea ce corespunde valorii calculate,  $T = 2L/c$ , pentru lungimea  $L = 2,4$  m a cavității optice. Asimetria impulsului se datorează răspunsului fotodiodei. Frontul anterior observat, (fig. 9 b), permite estimarea duratei impulsului la semiînălțime,  $\tau \approx 1,3$  ns.

Pe lîngă emisia de impulsuri ultrascurte de lumină cu perioada de repetiție  $T = 2L/c$ , pe care am ilustrat-o mai sus, se cunosc o serie de alte tipuri de emisie a laserilor în regim de cuplare a modurilor [12]: S-au obținut emisii I.U.L. cu frecvențe de repetiție pînă la de sase ori frecvența fundamentală  $c/2L$ . Analiza spectrală a luminii emise a arătat că într-o astfel de situație, în mod ușual, o serie de moduri sunt suprimate, încît distanța între două moduri adiacente active este un multiplu al intervalului de frecvență fundamental. Se obțin, de asemenea, în special în autocuplarea modurilor, emisii I.U.L. cu impulsuri inegale. Tot prin cuplarea modurilor longitudinale, laserii pot emite modulat în frecvență. În acest caz, modurile laserului joacă rolul benzilor laterale ale unui semnal modulat în frecvență. În sfîrșit, cuplarea modurilor transversale corespunzătoare aceluiasi mod longitudinal are ca rezultat baleierea continuă într-un plan transversal a fasciculuemis, iar la o cuplare simultană adecvată a modurilor transversale și longitudinale, fasciculul laser este baleiat în plan transversal, în pași discreți. Fiecare astfel de emisie implică o altă relație de blocare a modurilor și constituie un cîmp optic multifrecvență coherent, cu o altă structură spectrală.

\*

Am discutat aici numai cîmpurile optice multifrecvență *coerente*, cîmpuri care, după cum am văzut, constituie ele însele o clasă bine conținută, și care apar într-o mare diversitate de forme în cîteva domenii de lucru importante ale opticii moderne. Răspîndirea pe care aceste cîmpuri au căpătat-o în optica ultimului deceniu face actuală o tratare unitară a lor, ceea ce înseamnă în primul rînd integrarea lor generică - pe care am făcut-o în prima parte a lucrării - și, în al doilea rînd, dezvoltarea și aplicarea unui formalism de descriere a proprietăților lor specifice de coerentă - lucru pe care îl facem în partea a două a lucrării.

## II. COERENTA CIMPURILOR OPTICE MULTIFREVENTA

Analizăm în această parte a lucrării problemele de coerență specificice cimpurilor optice multifrecvență. După prezentarea unor noțiuni și rezultate de bază ale teoriei clasice a coerentei cimpurilor optice stationare (cap. 4), expunem, în capitolele 5 și 6, contribuțiile noastre la analiza teoretică a coerentei cimpurilor optice de frecvențe diferite și la aplicarea metodei interferometrice în investigarea experimentală a coerentei generalizate a cimpurilor multifrecvență obținute prin modularea luminii.

### 4. COERENTA CIMPURILOR OPTICE STATIONARE

Teoria coerentei cimpurilor optice stationare [14], [171], este rezultatul cercetărilor efectuate timp de peste un sfert de secol [162], pentru a se obține o descriere matematică adecvată a cimpurilor create de sursele termice și de laseri, și pentru a se trata în mod unitar coerența, incoerența și starea intermediară - desemnată pe parcurs cu termenul de coerență parțială - a cimpurilor optice.

Un aspect de primă importanță al teoriei coerentei parțiale este faptul că ea operează cu mărimi observabile ale cimpului optic - funcțiile de corelație de ordinul doi și de ordin superior [171]. Printre acestea, un loc central îl ocupă funcția de coerență mutuală a oscilațiilor de la două puncte ale unui cimp optic, pentru o retardare  $\tau$  între ele:

$$\Gamma_{1,2}(\tau) = \langle V_1(t+\frac{\tau}{2}) V_2^*(t-\frac{\tau}{2}) \rangle \quad (10)$$

și gradul de coerență complex corespunzător:

$$\gamma_{1,2}(\tau) = \Gamma_{1,2}(\tau) / \sqrt{\Gamma_{1,1}(0)} \sqrt{\Gamma_{2,2}(0)} \quad (11)$$

Modulul acestuia din urmă, denumit grad al coerentei celor două oscilații, poate fi măsurat prin vizibilitatea franelor de interferență produse de undele provenite de la cele două puncte:

$$|\gamma_{1,2}(\tau)| = V(\tau) \quad (12)$$

E. Wolf a stabilit că propagarea funcției de coerență mutuală în vid este guvernată de următoarele ecuații:

$$\Delta_{1,1,2}\Gamma_{1,2}(\tau) = \frac{1}{c^2} \frac{\partial^2 \Gamma_{1,2}(\tau)}{\partial \tau^2} \quad (13)$$

$$\Delta_2 \Delta_1 \Gamma_{1,2}(\tau) = \frac{1}{c^4} \frac{\partial^4 \Gamma_{1,2}(\tau)}{\partial \tau^4} \quad (14)$$

$$\Gamma(Q_1, Q_2, \tau) = \iint_{AA} \Gamma(P', P'', \tau - \frac{P' - P''}{c}) \frac{1}{\Lambda' \Lambda''} \frac{1}{P' P''} dP' dP'' \quad (15)$$

Pe lîngă importanța lor principală, de a arăta că observabilele cîmpului se propagă, asemenea mărăimilor de substrat, ondulatoriu, aceste legi - și în special forma integrală (15) - au și o deosebită valoare aplicativă, ele constituind baza teoretică a abordării moderne a unei mari diversități de probleme ale propagării luminii.

### 5. COERENTA GENERALIZATA

Teoria coerentei cîmpurilor optice staționare a fost elaborată avîndu-se în vedere numai problemele coerentei de frecvențe identice [193], (coerentei "uzuale" [206]) a cîmpurilor optice. Oscilațiile optice de frecvențe diferite pot fi și ele corelate - după cum am văzut în prima parte a lucrării - dar funcțiile de coerență de tip Wolf, (10), nu pot indica existența unei asemenea corelații.

Pentru a putea descrie și acest tip de corelație, F. Fisher [13] introduce o nouă funcție de coerență, funcția de coerență mutuală generalizată

$$\Gamma_{1,2}(\sigma, \tau) = \langle V_1(t + \frac{\tau}{2}) V_2^*(t - \frac{\tau}{2}) e^{-2\pi i \sigma t} \rangle \quad (16)$$

punînd astfel bazele teoriei coerentei generalizate. În (16),  $V_i$ , și  $V_2$  sunt semnalele analitice asociate oscilațiilor de la două puncte ale cîmpului optic,  $\tau$  - retardarea lor, iar  $\sigma$  o frecvență de testare a coerentei generalizate. Similar cu (11) se definește gradul de coerență complex generalizat al oscilațiilor de la două puncte ale cîmpului:

$$\gamma_{1,2}(\sigma, \tau) = \Gamma_{1,2}(\sigma, \tau) / \sqrt{\Gamma_{11}(0,0)} \sqrt{\Gamma_{22}(0,0)} \quad (17)$$

Coerența cîmpurilor multifrecvență este, în aspectele ei specifice, o coerență de frecvențe diferite, încît cadrul natural de investigație a proprietăților de coerență ale acestor cîmpuri este teoria coerentei generalizate. Prezentăm, în cele ce urmează, contribuțiile noastre la dezvoltarea teoriei coerentei generalizate și aplicarea ei în analiza coerentei cîmpurilor optice multifrecvență.

Am stabilit formele diferențiale exacte și forma integrală aproximativa ale legii de propagare în vid a funcției de coerență mutuală generalizată [18], [19], [212].

Propagarea funcției de coerență mutuală generalizată în vid este suvernată de următoarea pereche de ecuații de tip hiperbolic:

$$\begin{aligned} \Delta_1 \Gamma &= \frac{1}{c^2} \left[ \frac{\partial^2 \Gamma}{\partial \tau^2} + 2\pi i \sigma \frac{\partial \Gamma}{\partial \tau} - \pi^2 \sigma^2 \Gamma \right] \\ \Delta_2 \Gamma &= \frac{1}{c^2} \left[ \frac{\partial^2 \Gamma}{\partial \tau^2} - 2\pi i \sigma \frac{\partial \Gamma}{\partial \tau} - \pi^2 \sigma^2 \Gamma \right] \end{aligned} \quad (18)$$

Aceste ecuații sunt generalizări ale ecuațiilor (13) stabilite de către Wolf pentru propagarea în vid a funcției de coerentă mutuală uzuale și se reduc la acestea din urmă, pentru  $\sigma = 0$ . Ele atestă faptul că, la fel ca și coerenta uzuale, coerenta generalizată are o propagare de tip ondulatoriu. Extindem astfel asupra coerentei generalizate o concluzie de mare importanță principială a teoriei coerentei cimpurilor optice stationare: observabilele cimpului optic se propagă ca și mărimele de substrat, ondulatoriu.

O formă contractată a ecuațiilor (18) o constituie ecuația de ordinul patru cu coeficienți reali [212]:

$$\Delta_2 \Delta_1 \Gamma = \frac{1}{c^4} \left[ \frac{\partial^4 \Gamma}{\partial \tau^4} + 2\pi^2 \sigma^2 \frac{\partial^2 \Gamma}{\partial \tau^2} + \pi^4 \sigma^4 \Gamma \right] \quad (19)$$

Am arătat, de asemenea, că părțile reală și imaginară ale funcției de coerentă mutuală generalizată satisfac următoarelor două sisteme de ecuații de tip hiperbolic cu coeficienți reali [212]:

$$\begin{cases} \Delta_1 \Gamma(r) = \frac{1}{c^2} \left[ \frac{\partial^2 \Gamma(r)}{\partial \tau^2} - 2\pi\sigma \frac{\partial \Gamma(i)}{\partial \tau} - \pi^2 \sigma^2 \Gamma(r) \right] \\ \Delta_1 \Gamma(i) = \frac{1}{c^2} \left[ \frac{\partial^2 \Gamma(i)}{\partial \tau^2} + 2\pi\sigma \frac{\partial \Gamma(r)}{\partial \tau} - \pi^2 \sigma^2 \Gamma(i) \right] \end{cases} \quad (20a)$$

$$\begin{cases} \Delta_2 \Gamma(r) = \frac{1}{c^2} \left[ \frac{\partial^2 \Gamma(r)}{\partial \tau^2} + 2\pi\sigma \frac{\partial \Gamma(i)}{\partial \tau} - \pi^2 \sigma^2 \Gamma(r) \right] \\ \Delta_2 \Gamma(i) = \frac{1}{c^2} \left[ \frac{\partial^2 \Gamma(i)}{\partial \tau^2} - 2\pi\sigma \frac{\partial \Gamma(r)}{\partial \tau} - \pi^2 \sigma^2 \Gamma(i) \right] \end{cases} \quad (20b)$$

Printre simetriile prezentate de aceste două sisteme, remarcăm că intervertirea simultană a indicilor  $1 \leftrightarrow 2$  și  $(r) \leftrightarrow (i)$ , îl transformă pe primul în al doilea, și invers.

Am stabilit că în condițiile aproximatiei Kirchhoff [14], corespunzătoare majorității situațiilor de interes practic, funcția de coerentă mutuală generalizată a oscilațiilor de la două puncte  $Q_1, Q_2$  ale unui cimp optic se exprimă pe baza valorilor ei la perechile de puncte  $P', P''$  ale unei suprafete,  $A$ , atinse anterior de către frontul de undă, conform formulei [18]:

$$\Gamma(Q_1, Q_2, \sigma, \tau) = \iint_{AA} \Gamma(P', P'', \sigma, \tau, \frac{P' - P''}{c}) \overline{A'} \overline{A''} \frac{e^{-i\sigma \frac{P' + P''}{c}}}{r' r''} dP' dP'' \quad (21)$$

unde:  $r' = |\overline{P' Q_1}|$ ,  $r'' = |\overline{P'' Q_2}|$ , iar  $\overline{A'}$  și  $\overline{A''}$  - niste valori medii ale factorilor de inclinare la punctele  $P'$  și  $P''$ . Această formă integrală aproximativă a legii de propagare a funcției de coerentă mutuală

$\gamma_{V_1, V_2}(\sigma, \tau)$  este o generalizare a legii corespunzătoare (15) stabilită de către Wolf pentru propagarea funcției de coerentă ușuală și se reduce la aceasta din urmă pentru  $c = 0$ .

Am aplicat teoria coerentei generalizate în analiza coerentei cîmpurilor multifrecvență de modulație, cîmpuri la care se referă și rezultatele experimentale pe care le vom prezenta în capitolul următor. Am arătat că, dacă dispersia funcției de modulație este neglijabilă pe intervalul spectral al luminii folosite, amplitudinile complexe ale tuturor componentelor spectrale ale semnalului multifrecvență de ieșire din modulator sunt funcții de timp identice, pînă la un factor complex - de retardare și diminuare - cu amplitudinea complexă a semnalului incident. În aceasta constă, în aspectul său temporal, substratul corelației diferențelor componente spectrale ale undei emergente, între ele și cu unda incidentă la modulator.

În ceea ce privește aspectul spectral al substratului acestei corelații, am arătat [211] că, dacă dispersia funcției de modulație e neglijabilă, spectrul de amplitudini complexe al componentei de modulație de ordinul  $m$ ,  $v_m(\omega)$  se obține pînă la un factor complex,  $C_m$ , de diminuare și defazaj, același pentru toate monocromatele constitutive, printr-o translație  $m\omega/2\pi$  în scara frecvențelor, a spectrului luminii incidente la modulator,  $u(\omega)$ :

$$v_m(\omega) = C_m \cdot u(\omega - m\omega) \quad (22)$$

Structura de coerentă spectrală a unei benzi de modulație nu diferă de cea a liniei incidente. Coerentă fiecărei benzi laterale cu linia incidentă e o coerentă de frecvențe diferențite, avîndu-și suportul în corelația perechilor de monocromate de frecvențe diferențite corespondente (egal departate de centrul liniei), din cele două linii.

La nivelul observabilelor cîmpului, am arătat că gradul de coerentă complex al oscilațiilor de la două puncte ale unui cîmp multifrecvență de modulație are expresia:

$$\gamma_{V_1, V_2}(\sigma, \tau) = \gamma_{U_1, U_2}(\tau) \sum_{m=-\infty}^{\infty} \sum_{n=-\infty}^{\infty} \frac{C_m C_n^*}{\sum_{l=-\infty}^{\infty} |C_l|^2} e^{i\sigma(m+n)f_M \tau} \delta(\sigma - [m-n]f_M) \quad (23)$$

unde  $V_1$ ,  $V_2$  și  $U_1$ ,  $U_2$  sint semnalele analitice asociate oscilațiilor de la cele două puncte ale cîmpului pentru lumina modulată, respectiv în lipsa modulației;  $C_k$  - coeficientii Fourier ai funcției de modulație;  $f_M$  - frecvența de modulație, iar  $\delta$  este 1 pentru  $\sigma = [m-n]f_M$  și 0 în afara acestor valori. Ultimul factor din (23) indică faptul că la cele două puncte ale cîmpului multifrecvență există coerentă de frecvențe diferențite pe (și numai pe) multiplii intregi ai frecvenței de modulație; valorile gradului coerentei generalizate pentru fiecare din aceste

frecvențe depind de distribuția valorilor coeficienților Fourier,  $C_k$ , ai funcției de modulație, sau - echivalent - de distribuția valorilor amplitudinilor complexe ale componentelor de modulație ale cîmpului.

#### 6. ANALIZA COERENȚEI GENERALIZATE PRIN METODA INTERFEROMETRICA

Metoda interferometrică - una dintre metodele de evidențiere și măsurare a coerentei uzuale - poate fi extinsă la analiza coerentei de frecvențe diferite a cîmpurilor optice: Oscilațiile coerente în sens obișnuit, de la diverse puncte ale unui cîmp optic, pot da naștere, într-un montaj adecvat, unor franje de interferență fixe; oscilațiile coerente în sensul frecvențelor diferite pot da naștere unor franje mobile. Cu toate că franjele de interferență mobile intervin în mod curent în optica [75], [206], [207], de-abia în ultimul deceniu s-a pus la punct o metodă de înregistrare a lor [13], [15], [20], cu ajutorul căreia studiul experimental al coerentei generalizate să poată căpăta un caracter sistematic. Prezentăm, în cele ce urmează, rezultatările cercetărilor noastre în acest domeniu: Pe de o parte, stabilirea unei legături între funcția de coherentă generalizată a oscilațiilor de la două puncte ale unui cîmp optic în sistemul laboratorului și funcția de coherentă mutuală Wolf a acestora și oscilații într-un sistem mobil fată de cel al laboratorului [210], [20], legătură care permite o aprofundare a principiului aplicării metodei interferometrice în analiza coerentei generalizate. Pe de altă parte, largirea limitelor de aplicabilitate ale metodei, printr-o serie de perfeționări aduse dispozitivului experimental [15], [20].

*Transformarea coerentei la schimbarea sistemului de referință.*  
Date fiind două unde plane, de frecvențe  $v_{1L}$ ,  $v_{2L}$ , și ale căror directii de propagare sunt definite de versorii  $\vec{n}_{1L}$  și  $\vec{n}_{2L}$  în sistemul laboratorului, există, pentru orice direcție  $\vec{n}$ , un sistem inertial mobil fată de cel al laboratorului,  $M_0$ , astfel încît frecvențele celor două unde, în acest sistem, să fie egale; viteza unui astfel de sistem de egalizare a frecvențelor este [20]:

$$v_o = c \frac{\Delta v_L}{\vec{n}(v_{1L}\vec{n}_{1L} - v_{2L}\vec{n}_{2L})} \quad (24)$$

Referindu-ne la un montaj Young, dacă observația se restrânge la o mică zonă din vecinătatea axei optice a dispozitivului, undele provenite de la cele două fante pot fi considerate plane și viteza unui sistem de egalizare a frecvențelor care se mișcă paralel cu planul fantelor și perpendicular pe lungimea lor este [210], în notatiile fig. 10:

$$v_o = \Delta v_L \frac{CD}{v_L d} = \Delta v_L \cdot i \quad (25)$$

i este interfranja figurii de interferență produse de cele două unde. Într-un sistem de referință în care aceste unde au frecvențe egale, franjele de interferență produse de ele sunt, evident, fixe. Relativitatea punctelor de vedere ale observatorilor situati în sisteme de referință inerțiale diferite asupra diferenței de frecvență a oscilațiilor de la două puncte ale cîmpului optic, prezentată mai sus, se reflectă la nivelul observablelor după cum urmează: Coerentă unor oscilații cvasimonocromatice de la două puncte ale unui cîmp optic se prezintă fie ca o coerentă de frecvențe identice, fie ca una de frecvențe diferite, în funcție de sistemul de referință în care se face observația, iar valoarea gradului de coerentă complex generalizat, într-un sistem în care coerenta lor apare ca una de frecvențe diferite, este egală cu cea a gradului de coerentă complex Wolf, într-un sistem în care ea apare ca una de frecvențe identice [20]. În particular:

$$|Y_{12L}(\sigma, \tau)| = |Y_{12M_0}(\tau)| \delta(\sigma - \Delta v_L) = V(\tau) \delta(\sigma - \Delta v_L) \quad (26)$$

Această lege de transformare a coerentei la schimbarea sistemului de referință constituie baza aplicării metodei interferometrice în analiza coerentei generalizate: Pentru oscilațiile cvasimonocromatice de frecvențe diferite de la două puncte ale cîmpului optic, problema determinării gradului coerentei lor generalizate se reduce în ultimă instanță la găsirea unui sistem de referință în care cele două oscilații să apară ca avind frecvențe identice, la înregistrarea franjelor (fixe în acest sistem), pe care undele provenite de la cele două puncte le produc într-un montaj de interferență adecvat, și la măsurarea vizibilității acestor franje. Dacă oscilațiile de la cele două puncte sunt multifrecvență, reducerea coerentei lor generalizate pentru diverse valori ale lui  $\sigma$ , la coerentă ușoară, se face în S.R.I. mobile cu viteze diferite față de sistemul laboratorului.

*Aplicarea metodei interferometrice în analiza coerentei cîmpurilor multifrecvență produse prin modularea luminii.*

Dispozitivul experimental pe care l-am construit în acest scop este prezentat în fig. 11: Lumina provenită de la un laser He-Ne este modulată în intensitate cu o celulă Kerr cu nitrobenzen, K; P este un polotor; At - un atenuator optic variabil. Fascicolul modulat, largit de sistemul afocal  $Ob_1-L_1$ , cade asupra fantei duble Y. Înregistrarea franjelor mobile corespunzătoare diverselor frecvențe de coerentă generalizată,  $\sigma$ , ale oscilațiilor multifrecvență de la cele două fante Young se face pe un film fotografic aplicat pe discul D rotit de către motorul M. Obiectivul  $Ob_2$  proiectează figura de interferență din vecinătatea planului focal al lentilei  $L_2$ , pe film. O fantă, sectorială situată în fața discului (fig. 11b) limitează durata de impresionare a

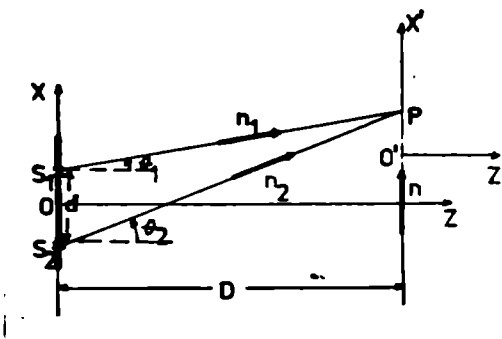


Fig. 10 Observarea oscilațiilor cîmpului de la cele două fante Young într-un sistem de referință mobil. Notații

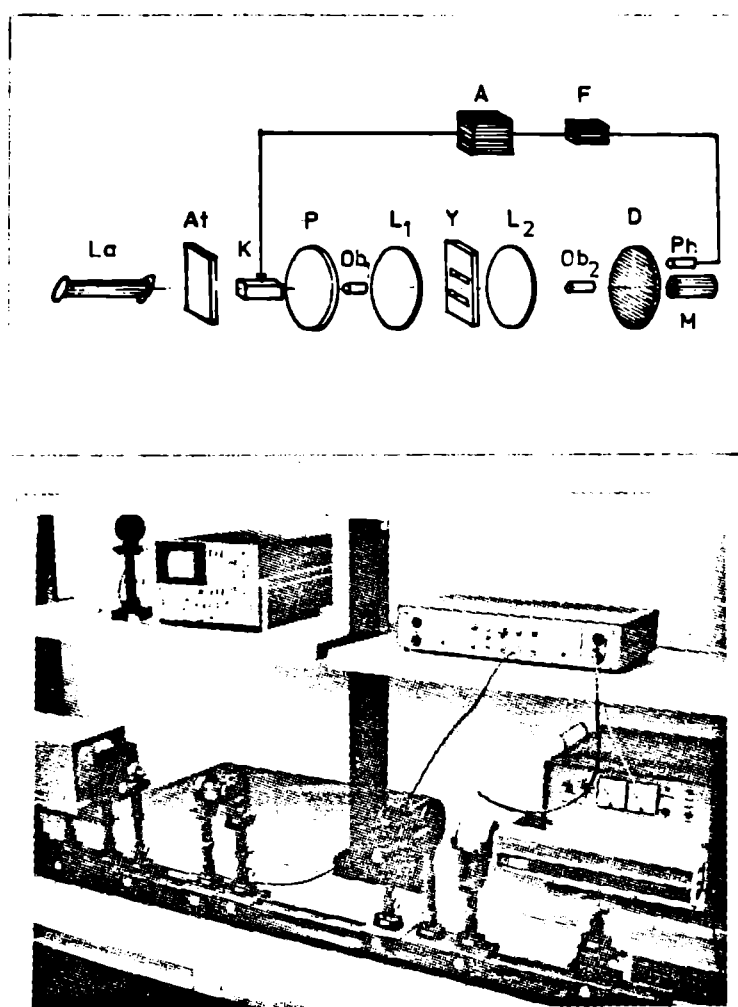


Fig.11 Analiza interferometrică a coerentei cîmpurilor multifrecvență de modulație (a)Schița montajului (b)Dispozitivul experimental.

Fig.12 Primul, respectiv primele două  
înele de franje.

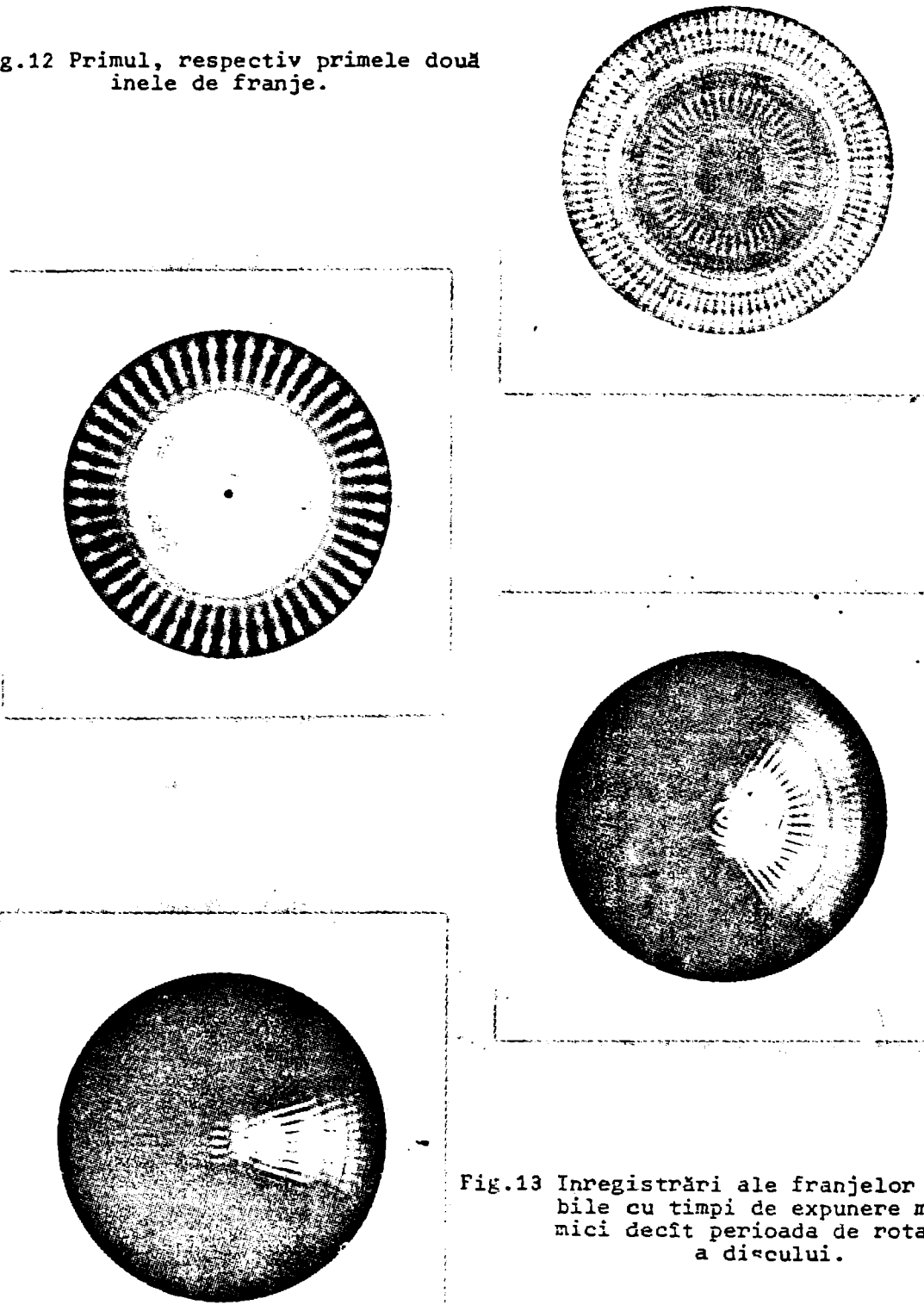


Fig.13 Înregistrări ale franjelor mo-  
bile cu timpi de expunere mai  
mici decât perioada de rotație  
a discului.

filmului la timpul cît el trece prin zona mediană a dispozitivului (planul YOZ , fig. 10). Pentru fiecare frecvență de coerentă generalizată a cîmpului există o circumferință de pe disc ale cărei puncte au viteza egală cu viteza franjelor mobile corespunzătoare acestei frecvențe de coerentă generalizată. Toate regiunile discului din creștul unei astfel de circumferințe îndeplinesc pe rînd, în cursul trecerii lor prin zona mediană a dispozitivului, rolul S.R.I. de egalizare a frecvențelor despre care am vorbit mai sus. De-a lungul acestor circumferințe se înregistrează pe film inele de franje radiale, corespunzătoare diverselor frecvențe de coerentă generalizată ale cîmpului.

Dacă timpul de expunere este mai mare decît perioada de rotație a discului, pentru ca franjele imprimate pe film în timpul unei rotații a discului să nu se voaleze în cursul rotațiilor ulterioare, trebuie ca fiecare regiune a filmului să regăsească, la fiecare revenire a ei în cîmpul de franje, aceeași stare de interferență (maxim, minim etc.) ca la trecerea anterioară. Această exigentă impune următoarea condiție de sincronism stroboscopic [15]:

$$\frac{\Delta v_L}{f_D} = N \quad (N - \text{intreg}) \quad (27)$$

Pentru îndeplinirea acestei condiții am realizat o buclă de sincronizare a tensiunii de modulație cu rotația discului [15] (Ph - F - A în fig. 11a, cu Ph - fotodetector, F - filtru trece jos, A - amplificator); frecvența tensiunii de modulație este astfel un multiplu întreg al frecvenței de rotație a discului,  $f_M = N_0 f_D$  și, intrucît (cap. 1)  $\Delta v_L = qf_M$ , cu  $q$  întreg, condiția (27) este îndeplinită.

În lipsa unei tensiuni continue aplicate celulei, spectrul luminii modulate conține numai componente de modulație de ordin par, (4a) cap. 1. Distanța dintre două componente de modulație vecine este  $\Delta v_{L1} = 2f_M$  ( $f_M = 250$  Hz). Oscilațiile de la ambele fante Young au acest spectru și ca urmare cîmpul de interferență prezintă (în sistemul laboratorului) următoarea structură:

- (0) O figură de interferență fixă corespunzînd tuturor perechilor de componente de la cele două fante care au aceeași frecvență:  $(v_{1m}, v_{2m})$
- (+1) O figură de interferență mobilă cu viteza  $v_{o1} = 2f_M$ , corespunzătoare tuturor perechilor de componente de la cele două fante ale căror frecvențe diferă cu  $\Delta v_{L1} = 2f_M$ , deci perechilor de tipul  $(v_{1m}, v_{2,m+2})$
- (+2) O figură de interferență mobilă cu viteza  $v_{o2}$ , corespunzătoare perechilor de componente de tipul  $(v_{1m}, v_{2,m+4})$ , ale căror frecvențe diferă, pentru toate, cu aceeași valoare  $\Delta v_{L2} = 4f_M$ .

c. a. m. d.

Figurile mobile se sincronizează cu mișcarea discului la distanțele:

$$r_n = \frac{v_{on}}{2\pi f_D} = n \frac{2f_M i}{2\pi f_D} = n N_0 \frac{i}{\pi} \quad (28)$$

de centrul lui ( $n = 1, 2, \dots$ ), și pe film se imprimă o serie de inele de franje cu razele medii  $n N_0 \frac{i}{\pi}$ , conținând  $2nN_0$  franje. Aceste inele indică existența coerentei de frecvențe diferite pentru  $\sigma = 2f_M, 4f_M, \dots$ , în concordanță cu (23) și (4a). Prezentăm în fig. 12 înregistrările primului, respectiv primelor două inele de franje; măririle sunt diferențiate. În fig. 12b, raza medie a celui de-al doilea inel este dublă față de raza medie a primului, concordant cu (28). De asemenea, numărul de franje al celui de-al doilea inel este dublu față de numărul de franje al primului:  $N_1 = 2N_0 = 50$ ,  $N_2 = 4N_0 = 100$  (în experiențele noastre  $N_0$  a fost 25).

Dacă punerea în practică a metodei interferometricice în analiza coerentei generalizate a cimpurilor optice ar fi legată inevitabil de îndeplinirea condiției de sincronism stroboscopic, aplicabilitatea ei ar fi foarte limitată. Am arătat [20] că metoda poate fi eliberată de constrângerea acestei condiții: Sursele de lumină existente azi sunt suficient de intense pentru ca franjele mobile să poată fi înregistrate în cursul unei singure treceri a filmului prin zona de interferență. Prezentăm în fig. 13 două înregistrări ale unor franje mobile cu tempi de expunere mai mici decât perioada de rotație a discului. Bucla de sincronizare a fost suprimată, iar alimentarea celulei Kerr s-a făcut de la un generator de tensiune sinusoidală independent. Eliberată de constrângerea condiției de sincronism stroboscopic, metoda interferometrică devine larg aplicabilă în analiza coerentei generalizate a unor cimpuri multifrecvență oarecare.

\*

Am considerat pe parcursul lucrării numai o serie de cimpuri optice multifrecvență cu o structură spectrală deosebit de regulată, cimpuri care au intrat în sfera de interes a opticii moderne în așa măsură încit privirea lor unitară și studiul proprietăților lor specifice de coerență să devină actuale. Cadrul de investigare a coerentei și unele dintre rezultatele obținute rămân valabile și pentru cimpuri multifrecvență cu o structură spectrală mai complexă. Ele rămân de asemenea valabile în cazul unor cimpuri policromatice oarecare între ale căror componente Fourier există coerență generalizată.

### REZUMAREA REZULTATELOR ORIGINALE. CONCLuzii

O serie de probleme recente ale opticii, cum ar fi analiza coerenței cimpurilor multifrecvență [15], [20] sau descrierea, la nivelul observabilelor, a propagării luminii în medii statistic neomogene și în turbulente [215]-[219], au adus în actualitate, dindu-i valoare aplicativă, o notiune a cărei elaborare s-a făcut lent, în cursul primei săptămâni a secolului nostru, printre un interes științific de cercetare fundamentală - notiunea de coerență generalizată.

Un prim grup de rezultate originale pe care le-am expus pe parcursul lucrării se referă la dezvoltarea teoriei coerenței generalizate:

1.1. Am stabilit formele diferențiale exacte și forma integrală aproximativă a legii de propagare în vid a funcției de coerență mutuală generalizată. Coerența generalizată, ca și coerența uzuale, se propagă asemenea vectorului luminos - ondulatoriu.

1.2. Am stabilit legea transformării coerenței la schimbarea sistemului de referință și am arătat pe această cale că distincția între coerența generalizată și cea uzuale este în esență una de sistem de referință în care se face observația.

1.3. Am arătat că această legătură între cele două tipuri de coerență constituie baza aplicării metodei interferometrice în analiza coerenței generalizate a cimpurilor optice: Măsurarea coerenței generalizate a oscilațiilor de la două puncte ale unui cimp optic în sistemul laboratorului poate fi redusă la măsurarea coerenței lor uzuale într-un set de sisteme de referință mobile, convenabil alese.

Teoria coerenței generalizate constituie cadrul natural și analizei proprietăților de coerență specifice ale cimpurilor multifrecvență. În prima parte a lucrării am făcut o prezentare unitară a procedeelor de obținere a cimpurilor optice multifrecvență coerente - modularea luminii, deplasarea frecvenței optice, cuplarea modurilor în laseri - utilizând în principal contribuțiile noastre în acest domeniu:

2.1. Elaborarea unei analize teoretice matriciale a modificării structurii spectrale a luminii la modularea de intensitate prin efect Pockels longitudinal în cristale de tip K.D.P. și prin efect Kerr în nitrobenzen, pentru un punct de funcționare oarecare al modulatorului și verificarea experimentală a prevederilor teoriei la nivelul spectrelor intensității luminii modulate.

2.2. Analiza matricială a modulatorului bicalular cu efect Kerr

2.3. Analiza matricială generală a funcționării modulatoarelor de tip secțiune birefringentă de defazaj constant rotitoare și a spectrelor

de modulatie produse de ele, cu aplicatie la translatoarele de frecventa cu cimp electric rotitor si a modulatoarelor electrooptice de tip tandem.

2.4. Realizarea unui modulator tandem cu cristale de K.D.P. alimentate in quadratură si stabilirea condițiilor în care modulatorul funcționează în regim de translator de frecvență optică.

2.5. Cuplarea modurilor longitudinale ale unui laser He-Ne, folosind neonul ca absorbant saturabil.

Un ultim grup de rezultate originale pe care le-am prezentat pe parcursul lucrării se referă la studiul teoretic și experimental al coerentei generalizate a cimpurilor multifrecvență de modulație:

3.1. Am făcut o analiză în domeniul timp și în domeniul frecvență a microsubstratului coerentei generalizate a componentelor de modulație. Dacă dispersia funcției de modulație este neglijabilă, fluctuațiile amplitudinilor complexe ale diferențelor componente de modulație urmează fiidel fluctuațiile amplitudinii complexe ale undei incidente, iar spectrul de amplitudini complexe al fiecărei componente de modulație se obține printr-o translație în bloc a spectrului luminii incidente la modulator.

3.2. Am stabilit expresia gradului de coerență complex generalizat pentru un cimp multifrecvență de modulație oarecare.

Una dintre direcțiile posibile de dezvoltare a teoriei este luarea în considerare a dispersiei funcției de modulație.

3.3. Experimental, am extins aplicarea metodei interferometrice în analiza coerentei generalizate a cimpurilor multifrecvență de modulație. Am arătat că, într-un montaj adecvat, metoda poate fi eliberată de constringerea condiției de sincronism stroboscopic, ea devenind, în felul acesta, aplicabilă în analiza coerentei generalizate a oricărora cimpuri multifrecvență.

Mentionăm în încheiere o altă direcție de cercetare în care conceptul de coerență generalizată a fost aplicat în ultima vreme, anume aceea a propagării undelor în medii statistic neomogene și în turbulențe. O serie de probleme de acest tip (propagarea semnalelor acustice în ocean, a impulsurilor pulsarilor în mediul interstelar, a undelor electromagnetice în atmosfera pământului sau în vîntul solar) sunt transferate în ultimii ani de la nivelul mărimilor de substrat la nivelul observabilelor cimpului - funcția de coerență generalizată fiind una dintre observabilele cu care se descrie propagarea semnalelor în asemenea situații [215]+[219]. Astfel teoria coerentei generalizate este în curs de a deveni - la fel cum a devenit, cu două decenii în urmă, teoria coerentei uzuale - cadrul modern de abordare a unor probleme de mare diversitate ale structurii cimpurilor și propagării semnalelor.

BIBLIOGRAFIE (Extras)

- [1] E.O. Ammann - Appl. Opt., 9, 1683 (1970)
- [2] W.T. Cathey - Optica Acta, 15, 35 (1968)
- [3] W. Pratt - Laser Communication Systems, J. Wiley & Sons, N.Y., 1969
- [4] J.E. Hopson - IEEE Trans. Commun. Syst., C.S.11, 464 (1963)
- [5] C.H. Bührer, V. Fowler, L. Bloom - Proc. I.R.E., 50, 1827 (1962)
- [6] L.E. Drain, B.C. Moss - Opto-electronics, 4, 429 (1972)
- [7] W.R. Bennett Jr. - The Physics of Gas Lasers, Gordon & Breach, NY, 1977
- [10] P. Connes, D. Tuan, J. Pinard - J. Phys. Radium, 23, 173 (1962)
- [12] P. Smith, M. Duguay, E. Ippen - Mode Locking of Lasers, in Progress in Quantum Electronics, III, ed. J. Sanders, Pergamon, Oxford, 1975
- [13] F. Fischer - Z. Phys., 199, 541 (1967)
- [14] M. Born, E. Wolf - Principles of Optics, 5th ed., Pergamon, N.Y., 1975
- [16] G. Bratescu, T. Tudor - Rev. Roum. Phys., 25, 1109 (1980)
- [16] A. Dumitrica, T. Tudor - Rev. Roum. Phys., 26, 183 (1981)
- [17] M. Ristici, A. Ciura, T. Tudor - Anal. Univ. Buc., Fiz., XXIX, 37 (1980)
- [18] G. Bratescu, T. Tudor - Anal. Univ. Buc., Fiz., XIX, 91 (1970)
- [19] G. Bratescu, T. Tudor - Anal. Univ. Buc., Fiz., XXVI, 3 (1977)
- [20] G. Bratescu, T. Tudor - J. Optics, 12, 59 (1981)
- [23] I.P. Kaminow - Appl. Phys. Lett., 2, 41 (1963)
- [40] W. Shurcliff - Polarized Light, Harvard Univ. Press, Cambridge, 1968
- [75] T.S. Durrani, C.A. Greated - Laser Systems in Flow Measurement, . Plenum Press, N.Y., 1977
- [80] T. Tudor, A. Dumitrica, D. Apostol - Anal. Univ. Buc., XXIX, 31 (1980)
- [162] Selected Papers on Coherence and Fluctuation of Light, ed. L. Mandel, E. Wolf, Dover Publ., Inc., N.Y., 1970
- [171] J. Perina - Coherence of Light, Van Nostrand Co., London, 1971
- [193] L. Mandel, E. Wolf - J. Opt. Soc. Am., 66, 529 (1976)
- [206] P.M. Duffieux - Rev. Opt., 36, 376 (1957)
- [207] A. Righi - Journ. Phys., 2, 437 (1883)
- [210] G. Bratescu, T. Tudor - Anal. Univ. Buc., Fiz., XX, 29 (1971)
- [211] G. Bratescu, T. Tudor - Anal. Univ. Buc., Fiz., XXI, 9 (1972)
- [212] G. Bratescu, T. Tudor - Rev. Roum. Phys., 26, in curs de aparitie
- [215] L.C. Lee, J.R. Jokipii - Astrophys. J., 201, 532 (1975)
- [216] S.T. Hong, A. Ishimaru - Radio Sci., 11, 551 (1976)
- [217] C.H. Liu, K.C. Yeh - Trans. Antennas Propagat., A.P.-26, 561 (1978)
- [218] C.H. Liu, K.C. Yeh - Radio Sci., 14, 925 (1979)
- [219] C.H. Liu, K.C. Yeh - J. Opt. Soc. Am., 70, 168 (1980)